

熊本大学 正員 吉村虎藏

同 同 田久英明

道路橋の場合、筆者等の従来の経験によれば单一荷重走行による変位応答は、橋梁の1次2次などの低次の固有振動が動的増加たわみに支配的なものであると思われていた。しかしながらタ葉橋(ディビターキ方式PC連続ラーメン橋, 43+3@55+43m)および美々津大橋(連続PC箱桁橋, 50.8+2@63.5+50.8m)における走行試験では、3次あるいは4次などの高次の固有振動による動的増加たわみが支配的に現われることが知られた。

こゝでは美々津大橋を数値計算のモデルに取上げ、次の3種の荷重の走行による応答の理論的研究結果と測定値を比較検討した結果について報告する。解析法は Modal Analysis, 数値計算は Runge-Kutta-Gill 法によった。

1. 運動方程式

自動車をモデル化して、まず单一荷重として取扱い次の3つの式をつくった。

(A) Running Force : 一つの一一定力 P_0 を一定速度 V_0 で走行させるとときの応答解析の基礎式は次の通り(図-1)。

$$\ddot{W}_m + C'_m \dot{W}_m + \omega_m^2 W_m = \underline{\Phi}_m(x_i) \underline{\Phi}_m(x_j=v_0 t) \cdot P_0 \quad \dots \dots \dots (1)$$

こゝに、 \dot{W}_m は m 次の振動によるたわみ、 \cdot は時間 t についての微分、 $C'_m = \frac{g}{V_0} \cdot C_m$ (但し C_m は m 次の減衰係数、 $\underline{\Phi}_m$ は i 点の集中質量、各点で C'_m は等しいと仮定する)、 ω_m は m 次の正規化モード、 x_i, x_j はそれぞれ測定点と荷重点の座標。

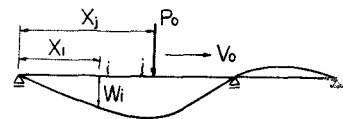


Fig. 1 Running Force

(B) Exciting Force : 一定力ではなく図-2のように周期的に加振しながら走行する力を便宜上このように名づけた。このときの運動方程式は式(1)の右辺の P_0 を $P(t)$ とおけばよい。

$$P(t) = P_0 + \Delta P(t) = P_0 (1 + A_0 \sin \omega_0 t) = P_0 (1 + \frac{a_0 \omega_0^2}{g} \sin \omega_0 t) \quad \dots \dots \dots (2)$$

こゝに ω_0 は加振力の円振動数、 a_0 はバネ上質量をモデルに考えると、バネ上質量の振動振巾を考えられよう。

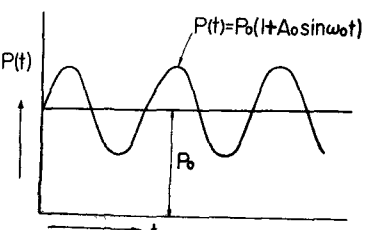


Fig. 2 Exciting Force

(C) Sprung Mass : 図-3のような荷重モデルを考えた。今の場合バネ下質量とバネ上質量の大きさに対して省略し、バネ上質量のみが走行するときの応答を考慮すると、

$$\ddot{y} + C_0 \dot{y} + \omega_0^2 (y - W_j) = 0$$

$$\ddot{W}_m + C'_m \dot{W}_m + \omega_m^2 W_m$$

$$= \underline{\Phi}_m(x_i) \underline{\Phi}_m(x_j=v_0 t) P_0 \left\{ 1 + \frac{\omega_0^2}{g} (y - W_j) \right\} \quad \dots \dots \dots (3)$$

$$W(x_i) = \sum_m W_m(x_i)$$

$$W(x_j) = \sum_m W_m(x_i) \frac{\underline{\Phi}_m(x_j)}{\underline{\Phi}_m(x_i)}$$

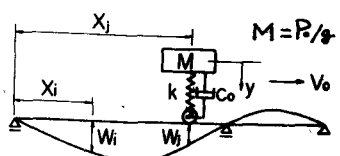


Fig. 3 Sprung Mass

2. 美々津大橋

本橋の振動試験で得られた固有周期Tと対数減衰率δは表-1の通りである。これらの実験値を用いモード重の値としては理論値をそのまま用いて数値計算を行なった結果の一例を図-5, 6, 7に示す。

図-4は実測値の一つであるが同一測点同一速度では極めて類似の資料が得られている。荷重のダンパーのバネ常数は落下試験によつて0.40, 0.27 secが得られたが、後者の減衰が小さいので図の場合これを利用している。解析では $C_0=0$ とおいた。図中 ΔW_s は静的たわみ、 $\Sigma \Delta W_d$ は動的增加たわみ、 ΔW_{d1} はm次の動的増加たわみの成分。

図-4

EXPERIMENTAL RESPONSE (Feb.3, 1967)

THE MIMITSU BRIDGE

MEASURING POINT "II"

$P_b = 12.7$ ton

$V = 48.4$ km/h

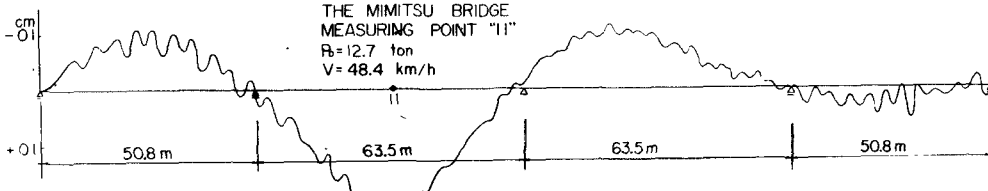


図-5

RESPONSE DUE TO A RUNNING FORCE

THE MIMITSU BRIDGE

MEASURING POINT "II"

$P_b = 13.0$ ton

$V = 50$ km/h

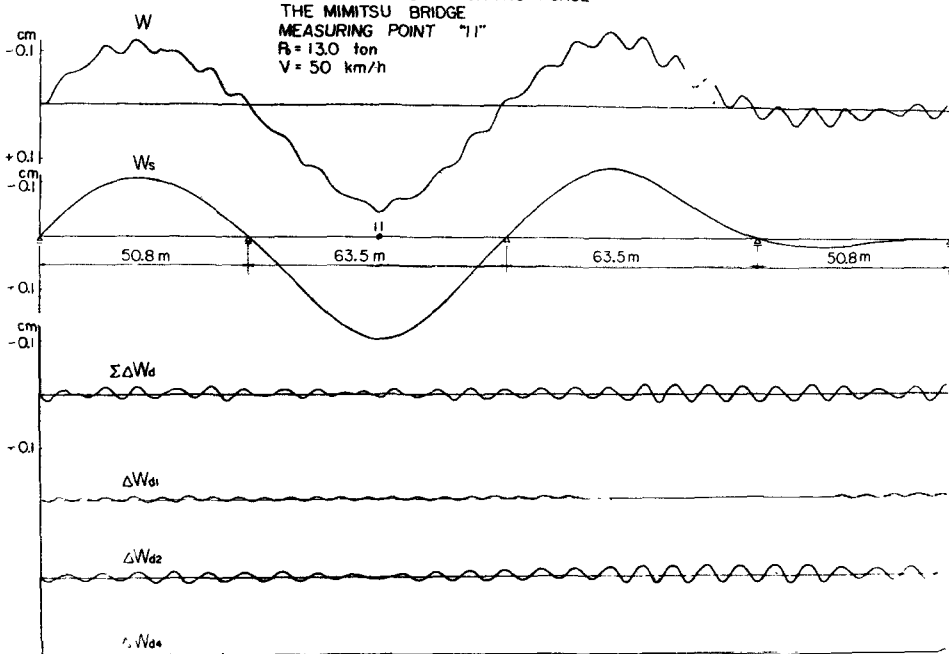


表-1 美々津大橋のTとδ

次 数		T (sec)	δ
対 称	1	0.461	0.044
	3	0.285	0.030
逆 対 称	2	0.641	0.050
	4	0.341	0.050

図-6

RESPONSE DUE TO AN EXCITING FORCE
THE MIMITSU BRIDGE
MEASURING POINT "II"
 $P_e = 12.7$ ton
 $V = 50$ km/h
INITIAL CONDITION OF THE FORCE
 $\alpha_0 = 0.1\text{cm}$, $T_0 = 0.27\text{sec}$

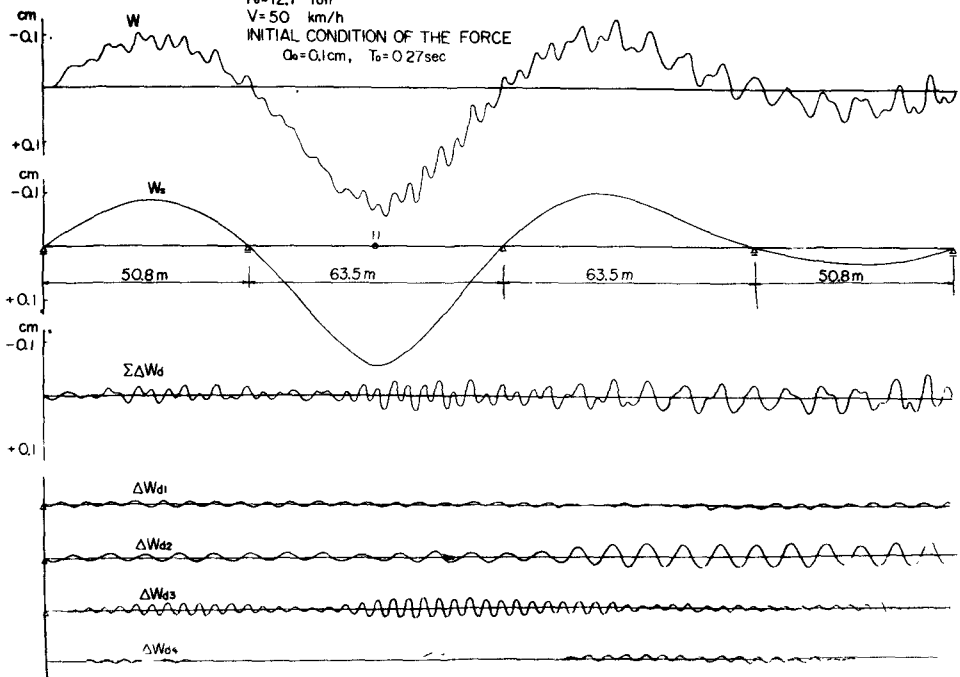
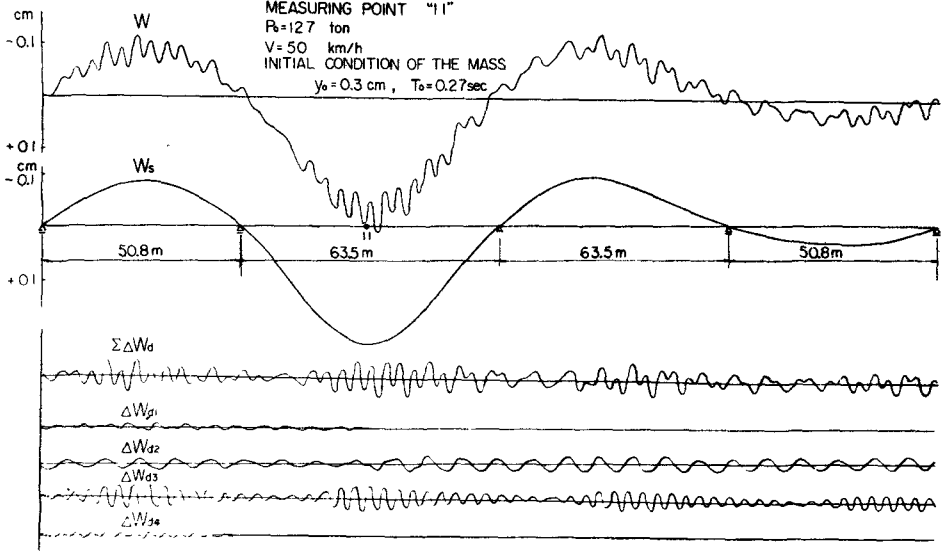


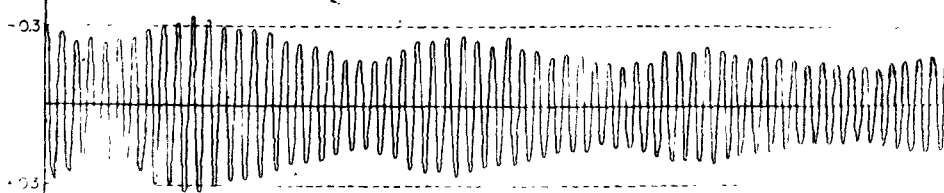
図-7 (a)

RESPONSE DUE TO A SPRUNG MASS
THE MIMITSU BRIDGE
MEASURING POINT "II"
 $P_e = 12.7$ ton
 $V = 50$ km/h
INITIAL CONDITION OF THE MASS
 $y_0 = 0.3\text{cm}$, $T_0 = 0.27\text{sec}$



$y - w_1$

図-7(b)



3. むすび

3種の単一荷重を走行せしめたときの連続桁の理論応答では、单一の一定力走行時には△波のうち低次のものが現われ、実測値と一致しない。走行時の荷重の上下動きを入れた場合の応答では△波のうち高次のものが現われ実測値に近い応答が得られた。したがって、このような橋梁ではどうしてモバネ上質量の微小運動を応答解析に取上げねばならないことが判明した。連行荷重による結果などについては当日発表する予定である。

(注)

- (1) 吉村他, 土木学会誌 44-12 (S.34.12); 吉村・平井, 土木学会論文集 101 (S.39.1); 吉村・平井, 第7回道路会議 (S.38.10); 吉村・平井, 土木技術 (S.38.7) 等
- (2) 吉村・平井他, 道路 (S.39.11)
- (3) 吉村, 美々津大橋の走行試験報告書 (S.32.4)